

#### Um breve estudo do Modelo Lorenz 80

Lucas Amaral Taylor

Instituto de Matemática e Estatística (IME-USP)

Fevereiro / 2025

## Estrutura da apresentação

- 1 Introdução
- 2 Construção dos modelos
- 3 Simulações

## Objetivos da apresentação

- 1 Apresentação geral do artigo de Lorenz
- Relacionar os assuntos apresentados em aula com os temas abordados no artigo.
- 3

#### PE Model: Características do fluido

- Homogêneo. A densidade do fluido é uniforme em todo volume:
- Incompressível. O volume não muda quando submetido à pressão ( $\nabla \cdot V = 0$ )

#### PE Model: O modelo de água rasa

Fazendo as devidas alterações notacionais em [Sal98], temos:

$$\frac{\partial V}{\partial t} + (V \cdot \nabla)V + f\mathbf{k} \times V = -g\nabla z \tag{1}$$

$$\frac{\partial z}{\partial t} + \nabla \cdot (zV) = 0 \tag{2}$$

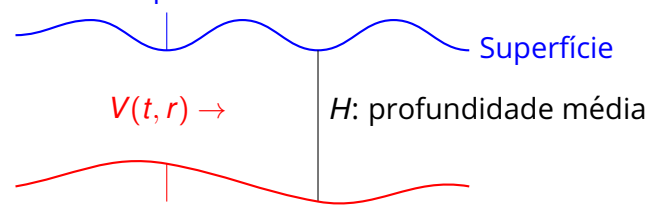
$$\frac{\partial z}{\partial t} + \nabla \cdot (zV) = 0 \tag{2}$$

- t: tempo;
- r: vetor de posição inicial;
- V(t, r): Velocidade horizontal;
- z(t, r): altura da superfície;

- f: parâmetro de Coriolis;
- g: aceleração da gravidade;
- **k**: vetor da vertical.

#### PE Model: Modelo de água rasa

#### z: desvio da superfície do fluido



h: variação da topologia do fundo

#### PE Model: O modelo de água rasa modificado

No artigo, nos é apresentado as seguintes equações:

$$\frac{\partial V}{\partial t} = -(V \cdot \nabla)V - f\mathbf{k} \times V - g\nabla z + \nu \nabla^2 \mathbf{V} 
\frac{\partial z}{\partial t} = -(V \cdot \nabla)(z - h) - (H + z - H)\nabla \cdot \mathbf{V} + \kappa \nabla^2 z + F$$
(4)

$$\frac{\partial z}{\partial t} = -(V \cdot \nabla)(z - h) - (H + z - H)\nabla \cdot \mathbf{V} + \kappa \nabla^2 z + F \tag{4}$$

- t: tempo
- r: vetor de posição inicial;
- H: profundidade média do fluido;
- *h*(*r*): variação da superfície topológica;
- *V*(*t*, *r*): Velocidade horizontal;
- z(t,r): altura da superfície;

- f: parâmetro de Coriolis;
- *g*: aceleração da gravidade;
- *F*: forças externas;
- κ: coeficiente de difusão viscosa:
- ν: coeficiente de difusão térmica;
- k: vetor da vertical.

## PE Model: Sobre os processos de difusão

Nas equações (3) e (4), temos dois processos de difusão:

- **1 Difusão viscosa:** transferência do momento entre partes do fluido devido à viscosidade (exemplo: mel);
- Difusão térmica: Transferência de calor por condução entre regiões com diferentes temperaturas.

Observação: Ambos os processos tendem a uniformizar suas respectivas propriedades.

# *PE Model*: Algumas observações das equações (3) e (4)

- 1 A média horizontal de h e z é zero;
- 2 V(t,r) e z(t,r) são amortecidas pelo processo de difusão de pequenas escala, este fato auxilia na simulação de fenômenos atmosféricos;
- 3 O "efeito  $\beta$ ", efeito que indica como o movimento do fluido é afetado pelas alterações espaciais do parâmetro Coriolis, é suprimido da equação (4), através da escolha da topografia. Tal decisão baseia-se no artigo [Von52] que prova o fato teoricamente e laboratorialmente.

## PE Model: A formação de novas equações

A partir da *Decomposição de Helmholtz*, decomposição que divide a parte rotacional e a parte divergente, aplicada a equação (4), temos:

$$V = \nabla \chi + \mathbf{k} \times \nabla \psi \tag{5}$$

- $\chi$ : potencial de velocidade (*parte divergente*)
- ψ: função corrente (parte rotacional)
- k: vetor unitário vertical

## PE Model: A formação de novas equações

A partir da equação (5) e (3), obtemos as duas seguintes equações:

$$\frac{\partial \nabla^2 \chi}{\partial t} = -\frac{1}{2} \nabla^2 (\nabla \chi \cdot \nabla \chi) - \nabla \chi \cdot \nabla (\nabla^2 \psi) \times \mathbf{k} + \nabla^2 (\nabla \chi \cdot \nabla \psi \times \mathbf{k}) 
+ \nabla \cdot (\nabla^2 \psi \nabla \psi) - \frac{1}{2} \nabla^2 (\nabla \psi \cdot \nabla \psi) + \nu \nabla^4 \chi + f \nabla^2 \psi - g \nabla^2 z$$
(6)

$$\frac{\partial \nabla^2 \psi}{\partial t} = -\nabla \cdot (\nabla^2 \psi \nabla \chi) - \nabla \psi \cdot \nabla (\nabla^2 \psi) \times \mathbf{k} - f \nabla^2 \chi + \nu \nabla^4 \psi \tag{7}$$

- $\frac{\partial \nabla^2 \chi}{\partial t}$ : expressa a vorticidade;
- $\frac{\partial \nabla^2 \psi}{\partial t}$ : expressa o divergente

#### PE Model: A formação de novas equações

Realizando o mesmo processo, a partir das equações (4) e (5), obtemos a seguinte equação:

$$\frac{\partial z}{\partial t} = -\nabla \cdot (z - h)\nabla \chi - \nabla \psi \cdot \nabla (z - h) \times \mathbf{k} - H\nabla^2 \chi + \kappa \nabla^2 z + F \quad (8)$$

As equações (6), (7) e (8) serão as equações básicas para a construção do modelo de baixa ordem

#### PE Model: Objetivos do Processo de simplificação

- 1 Converter as equações (6), (7) e (8) para um modelo de baixa ordem.
- 2 Transformaremos um modelo formado originalmente por equações primitivas atmosféricas em um sistema de nove variáveis.

Primeiro, introduziremos três vetores adimensionais, que respeitam a seguinte condição:

$$\alpha_1 + \alpha_2 + \alpha_3 = 0 \tag{9}$$

Junto a permutação abaixo:

$$(i,j,k) = (1,2,3), (2,3,1), (3,1,2)$$
 (10)

Definiremos as variáveis  $a_i, b_i$  e  $c_i$ 

As variavéis  $a_i$ ,  $b_i$  e  $c_i$  são definidas da seguinte forma:

$$\mathbf{a}_i = \alpha_1 \cdot \alpha_j$$
  
 $\mathbf{b}_i = \alpha_j \cdot \alpha_i$   
 $\mathbf{c}_i = \alpha_j \times \alpha_k \cdot \mathbf{k}$ 

Observação: Apesar dessa relação ser válida, Lorenz apresenta outra (esta foi usado na aplicação computacional):

$$b_i = \frac{1}{2} (a_i - a_j - a_k)$$
  
$$c_i = c$$

Por fim, definimos um comprimento *L* e criamos três funções ortogonais:

$$\phi_{i} = \cos\left(\alpha_{i} \cdot \frac{r}{L}\right)$$

A partir delas, temos:

$$L^{2}\nabla^{2}\phi_{i} = -a_{i}\phi_{i}$$

$$L^{2}\nabla\phi_{i}\cdot\nabla\phi_{k} = -\frac{1}{2}b_{ik}\phi_{i} + \cdots$$

$$L^{2}\nabla\cdot(\phi_{j}\nabla\phi_{k}) = \frac{1}{2}b_{jk}\phi_{i} + \cdots$$

$$L^{2}\phi_{j}\cdot\nabla\phi_{k}\times\mathbf{k} = -\frac{1}{2}c_{jk}\phi_{i} + \cdots$$

A partir delas, podemos introduzir as variáveis adimensionais normalizadas:

$$t = f^{-1}\tau \tag{11}$$

$$\chi = 2L^2 f^2 \sum x_i \phi_i \tag{12}$$

$$\psi = 2L^2 f^2 \sum y_i \phi_i \tag{13}$$

$$z = 2L^2 f^2 g^{-1} \sum_{i} z_i \phi_i \tag{14}$$

$$h = 2L^2 f^2 g^{-1} \sum h_i \phi_i \tag{15}$$

$$F = 2L^2 f^2 g^{-1} \sum F_i \phi_i \tag{16}$$

Em seguida, aplicamos as variáveis definidas em (11)-(16), nas equações (6), (7) e (8), obtemos as seguintes equações:

$$a_{i}\frac{dx_{i}}{d\tau} = a_{i}b_{1}x_{i}x_{k} - c(a_{i} - a_{k})x_{i}y_{k}c(a_{i} - a_{j})y_{i}x_{k}$$
$$-2c^{2}y_{i}y_{k} - \nu_{0}a_{i}^{2}x_{i} + a_{i}y_{i} - a_{i}z_{i}$$
(17)

$$a_{i}\frac{dy_{i}}{d\tau} = -a_{i}b_{k}x_{i}y_{k} - a_{i}b_{i}y_{i}x_{k} + c(a_{k} - a_{i})y_{i}y_{k} - a_{i}x_{i} - \nu_{0}a_{i}^{2}y_{i}$$
 (18)

$$\frac{dz_i}{d\tau} = -b_k x_i (z_k - h_k) - b_i (z_i - h_i) x_k + c y_i (z_k - h_k) 
- c (z_i - h_i) y_k + g_0 a_i x_i - \kappa_0 a_i z_i + F_i$$
(19)

## PE Model: Breves observações

- As variáveis com o índice 1 representam campos de velocidade e altura zonalmente uniformes
- As variáveis com o índice 2 ou 3 representam ondas ou redemoinhos de grande escala sobrepostos.
- Este modelo será usado em simulações e levará em consideração a permutação (10)

## PE Model: Mais um processo de simplificação

Primeiro, definiremos *U* e *V*:

$$U_i = -b_i x_i + c y_i \tag{20}$$

$$V_i = -b_k x_i - c y_i \tag{21}$$

Em seguida,  $X_i$  e  $Y_i$ :

$$X_i = -a_i x_i \tag{22}$$

$$Y_i = -a_i y_i \tag{23}$$

## PE Model: Mais um processo de simplificação

Aplicando  $U, V, X_i$  e  $Y_i$  em (17), (18) e (19), obtemos:

$$\frac{dX_i}{d\tau} = U_i U_k + V_j V_k - \nu_0 a_i X_i + Y_i + a_i z_i$$
(24)

$$\frac{dY_i}{d\tau} = U_i Y_k + Y_j V_k - X_i - \nu_0 a_i Y_i$$
 (25)

$$\frac{dz_i}{d\tau} = U_i(z_k - h_k) + (z_j - h_j)V_k - g_0X_i - \kappa_0 a_i z_i + F_i$$
 (26)

Este modelo também segue as permutações de (10) e também será usado em simulações numéricas.

#### QG Model: Construção do modelo

#### Da equação (17):

• Elimina-se todos os termos que contém x, inclusive aqueles que tem derivada em relação ao tempo

#### Das equações (18) e (19):

- Elimina-se todos os termos não lineares ou topográficos
- Elimina-se todos os termos com x e z

## QG Model: Construção do modelo

A partir deste processo obtem-se:

$$(a_{i}g_{0}+1)\frac{dy_{i}}{d\tau} = g_{0}c(a_{k}-a_{j})y_{j}y_{k} - a_{i}(a_{i}g_{0}v_{0} + \kappa_{0})y_{i} - ch_{k}y_{j} + ch_{j}y_{k} + F_{i}$$
(27)

- $(a_ig_0 + 1)\frac{dy_i}{d\tau}$ : termo de evolução temporal
- $g_o c(a_k a_j) y_j y_k$ : Advecção da vorticidade planetária
- $-a_i(a_ig_0v_0 + \kappa_0)y_i$ : dissipação
- $-ch_k y_i + ch_i y_k$ : efeitos topográficos
- *F<sub>i</sub>*: forçamento

#### Python

```
def calcular_dobro(x):
    """Retorna o dobro do número"""
    return 2 * x

# Testando a função
numero = 5
resultado = calcular_dobro(numero)
print(f"O dobro de {numero} é {resultado}")
```

## Fim da apresentação!